

سرعت جریان در کanal مرکب پیچان تحت تأثیر ضریب خمیدگی

محمد نقوی^۱، میرعلی محمدی^{۲*}، قربان مهتابی^۳

- ۱- دانشجوی دکتری مهندسی عمران- آب و سازه های هیدرولیکی، دانشکده فنی و مهندسی، دانشگاه ارومیه.
- ۲- دانشیار مهندسی عمران- هیدرولیک و مکانیک مهندسی رودخانه، دانشکده فنی و مهندسی، دانشگاه ارومیه.*
- ۳- استادیار گروه مهندسی آب، دانشکده کشاورزی، دانشگاه زنجان.

* m.mohammadi@urmia.ac.ir

تاریخ پذیرش: ۹۷/۱۱/۲۱ تاریخ دریافت: ۹۷/۶/۱۲

چکیده

رودخانه های طبیعی برای تنظیم شبکه ارزشی، بهندرت در مسیری مستقیم جریان دارند و معمولاً دارای مسیری انحنای هستند که به آنها پیچان رود گفته می شود. پس از پیدایش رودخانه های پیچان، با گذشت زمان و حرکت جانبی پیچ ها، میزان پیشروی قوس بیرونی افزایش یافته و مقدار ضریب خمیدگی یا سینوسی در پلان زیاد می شود. در کانال های پیچان، میزان انحنای با عدد بی بعدی به نام ضریب خمیدگی تعریف می شود که نسبت طول مسیر انحنای کانال اصلی به طول مستقیم سیلاپ داشت است. با افزایش مقدار ضریب خمیدگی، شبکه، سرعت جریان و ظرفیت انتقال دبی رودخانه کاهش می یابد. در نتیجه خطر سیلابی شدن به طور قابل توجهی افزایش یافته و در هنگام بروز سیلاپ، سطح آب از مقطع اصلی رودخانه فراتر رفته و وارد دشت های سیلابی آن می شود. در این حالت با توجه به اندرکش بین جریان با سرعت بالا در کانال اصلی و جریان کنتر در سیلاپ داشت ها و تبادل اندازه حرکت بین این دو ناحیه، مشخصات جریان دائمی در حال تغییر می باشد. در این تحقیق، مشخصات هیدرولیکی جریان شامل توزیع عرضی سرعت متوسط عمقی، پروفیل سطح آب، توزیع سرعت در طول، نسبت سرعت عرضی به طولی در محور مرکزی کانال اصلی، میزان سرعت متوسط و دبی عبوری از کانال اصلی با توجه به تغییر ضریب خمیدگی برای شش نوع کانال با مقادیر سینوسی مختلف به صورت عددی بررسی شده است. برای بررسی اثر ضریب خمیدگی کانال مرکب پیچان رود روی مشخصات هیدرولیکی جریان، از نرم افزار FLOW3D استفاده شده است و مدل آشفتگی این نرم افزار نیز طوری انتخاب شد که هماهنگی بهتری با داده های آزمایشگاهی داشته باشد. برای این منظور، از دو مدل آشفتگی پر کاربرد RNG و k-ε استفاده شده و عملکرد این دو مدل آشفتگی در شبیه سازی مشخصه هیدرولیکی جریان بررسی، و مشخص شد که مدل آشفتگی RNG دارای دقت بیشتری است. در ادامه، این مدل به عنوان مدل آشفتگی نهایی برای شبیه سازی عرضی معرفی شد. در نهایت با بررسی کانال مرکب پیچان رود تحت تأثیر ضریب خمیدگی مختلف مشخص شد که با افزایش مقدار ضریب خمیدگی کانال مرکب از ۱/۶۴۱ به ۰/۳۳۲، مقدار سرعت متوسط مقطع اصلی کانال مرکب پیچان به طور میانگین ۵۴٪ و میزان دبی عبوری از مقطع اصلی کانال به طور متوسط ۳۸٪ کاهش می یابد. با افزایش میزان ضریب خمیدگی، مقدار بیشینه سرعت متوسط عمقی مقطع اصلی کانال از ۰/۵۵ به ۰/۳۸ متر بر ثانیه کاهش و مقدار بیشینه ارتفاع سطح آب از ۰/۳۰۵ به ۰/۳۳۲ متر در قوس بیرونی مقطع CS1 افزایش می یابد. افزایش مقدار ضریب خمیدگی باعث می شود نسبت سرعت عرضی به سرعت طولی در محور مرکزی کانال اصلی افزایش یافته به طوری که مقدار آن در بحرانی ترین حالت از صفر به ۰/۴ می رسد. با افزایش ضریب خمیدگی، مقدار سرعت طولی حداقل به سمت سیلاپ داشت سمت راست (خم داخلی) حرکت کرده و از مقدار آن کا سته می شود. به طوری که با افزایش ضریب خمیدگی از ۱/۶۴۱ به ۰/۴۲ مقدار حداقل سرعت طولی از ۰/۵۵ به ۰/۴۲ متر بر ثانیه کاهش یافته و موقعیت آن از مرکز کانال اصلی به سمت خم داخلی در بالای عمق لبریز کانال اصلی حرکت می کند.

واژگان کلیدی: کانال مرکب، پیچان رود، ضریب خمیدگی، سرعت متوسط عمقی، FLOW3D

۱- مقدمه

ضریب خمیدگی به طور قابل توجهی روى دبی جریان موثر است [7]. اسپونر و شیونو، مدل ریاضی دو بعدی برای پیش بینی توزیع عرضی سرعت و تششی بستر در مقاطع مرکب پیچان با صرف نظر کردن اثر افت انرژی ناشی از نیروی گریز از مرکز و جریان ثانویه ارایه دادند [8]. ورمیتون و همکاران با بررسی ساختار جریان در کanal با بستر متحرک به این نتیجه رسیدند که دانه بندی مصالح و پروفیل بستر روی ساختار جریان موثر است [9]. دمارچیز و همکاران (۲۰۰۸) اثر پارامترهای هندسی را روی ظرفیت انتقال کanal مرکب پیچان مورد بررسی قرار دادند. نتایج مدل عددی نشان داد که میزان ضرب خمیدگی پارامتر اصلی است که باید در فرمول های تجربی برای ارزیابی ظرفیت انتقال کanal ها مورد توجه قرار گیرد [10]. رامشوران و همکاران با بررسی مدل فیزیکی رودخانه بلک واتر و مطالعه روی سیالاب دشت های افقی و شبیه دار و کanal های با ضرب خمیدگی مختلف، توزیع عرضی سرعت و تششی بستر را ارزیابی کردند [11]. شیونو و همکاران مشخصات جریان و فرم بستر در کanal های مرکب پیچان با بستر متحرک و بستر ثابت را بررسی کردند [12]. لیو و همکاران با ارائه یک مدل تحلیلی، توزیع سرعت متوسط عمقی را در طول خم کanal مرکب پیچان مورد بررسی قرار دادند [13]. همچنین مرا و همکاران آشتفتگی ناهم سان در کanal مرکب پیچان با شرایط مختلف استغراق را مورد بررسی کرد [1]. همچنین نایت و همکاران (۱۹۸۳) با بررسی مشخصه های اندر کنش کanal اصلی و سیالاب دشت اشاره کرد. شیونو و همکاران با این نتیجه رسیدند که جریان در ناحیه های کم عمق باعث شتاب منفی جانبه در کanal اصلی می شود [2]. کیلی سرعت، دبی، شدت آشتفتگی و جریان های ثانویه در مقاطع مرکب مستقیم و پیچان را بررسی کرد [3]. اروین و همکاران نیز اثر پارامترهای مانند ضرب خمیدگی، هندسه کanal، زبری بستر، عمق جریان و شبیه کanal را بررسی کردند [4]. شیونو و موتو با اندازه گیری آشتفتگی و جریان ثانویه کanal پیچان، سازو کار جریان در کanal مرکب پیچان را بررسی کردند [5]. شیونو و همکاران اتلاف انرژی در کanal مرکب پیچان را بررسی کردند [6]. در همان سال مجدداً شیونو و همکاران منحنی دبی - اشل، شبیه طولی و ضرب خمیدگی را در کanal مرکب پیچان را ارزیابی کردند، و مشخص شد که شبیه طولی و

در طبیعت بیشتر رودخانه ها در محدوده کوتاهی از مسیر خود مستقیم بوده و عموماً با کوچکترین بی نظمی و آشتفتگی در جریان، از مسیر خود منحرف شده و به صورت پیچ و خم های متناوب می آیند. پیچان رودها شامل یک سری پیچ و خم های متناوب هستند که توسط بازه های مستقیم کوتاه به یکدیگر می پیوندند. این نوع رودخانه ها دارای شبکه کم بوده و در هنگام بروز سیالاب، سطح آب از مقطع اصلی آن فراتر رفته و وارد سیالاب دشت های اطراف آن می شود. در این حالت مقطع جریان عبوری به صورت یک کanal مرکب در می آید. جریان در کanal های مرکب با جریان در کanal های ساده متفاوت است چرا که اختلاف سرعت بین ناحیه سیالاب دشت و کanal اصلی باعث انتقال اندازه حرکت و ایجاد آشتفتگی بین این دوناحیه شده و دبی کanal را کاهش می دهد. با توجه به ورود، خروج و عبور جریان سیالاب دشت ها به کanal اصلی در پیچان رودها، این پیچیدگی در کanal های مرکب پیچان دوچندان می شود.

تاکنون پژوهش هایی در مورد کanal های مرکب انجام شده که به عنوان نمونه می توان به مطالعات تویز و سوکی (۱۹۶۷) در مورد هیدرولیک جریان کanal مرکب پیچان رود و اتلاف انرژی مشاهده شده در محل اتصال کanal اصلی و سیالاب دشت اشاره کرد [1]. همچنین نایت و همکاران (۱۹۸۳) با بررسی مشخصه های اندر کنش کanal اصلی و سیالاب دشت در کanal هایی مرکب به این نتیجه رسیدند که جریان در ناحیه های کم عمق باعث شتاب منفی جانبه در کanal اصلی می شود [2]. کیلی سرعت، دبی، شدت آشتفتگی و جریان های ثانویه در مقاطع مرکب مستقیم و پیچان را بررسی کرد [3]. اروین و همکاران نیز اثر پارامترهایی مانند ضرب خمیدگی، هندسه کanal، زبری بستر، عمق جریان و شبیه کanal را بررسی کردند [4]. شیونو و موتو با اندازه گیری آشتفتگی و جریان ثانویه کanal پیچان، سازو کار جریان در کanal مرکب پیچان را بررسی کردند [5]. شیونو و همکاران اتلاف انرژی در کanal مرکب پیچان را بررسی کردند [6]. در همان سال مجدداً شیونو و همکاران منحنی دبی - اشل، شبیه طولی و ضرب خمیدگی را در کanal مرکب پیچان را ارزیابی کردند، و مشخص شد که شبیه طولی و

شکل ۱. طرح شماتیک کانال‌های استفاده شده در این پژوهش با مقادیر ضریب خمیدگی مختلف

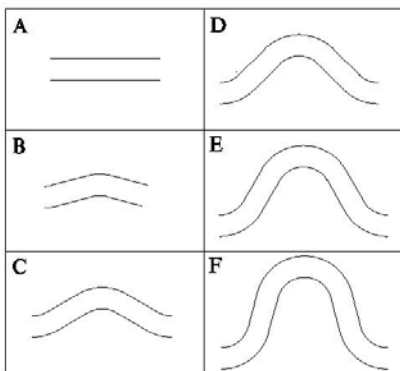


Fig. 1. The schematic design of the channels used in this research with a different Sinuosity values.

به عنوان نمونه پلان مشخصات هندسی کanal E در شکل (۲) نشان داده شده و مطابق این شکل شرایط جریان در هفت مقطع مورد بررسی قرار گرفته است. در این مطالعه دبی جریان ورودی کلیه کanal ها $189/0$ مترمکعب بر ثانیه، عمق وعرض کanal اصلی مستطیلی $14/0$ و $7/0$ متر، عمق جریان ورودی به کanal مرکب وعرض آن $255/0$ و $4/0$ متر است. لازم به ذکر است که نرم افزار FLOW3D فاکتور K_s را به عنوان زبری معادل برای مشخصه ناهمواری بستر به صورت مقیاس طولی در نظر می‌گیرد. در این پژوهش با توجه به ضریب زبری مانینگ ارائه شده در آزمایش‌های لیو و همکاران که در بخش درستی آزمایش از آن استفاده شده و با توجه به معادله Ackers(1991) که به صورت رابطه ۱ ارائه شده است، مقدار k_s بدست آمده، در شیوه سازی‌ها به عنوان ضخامت زبری بستر استفاده شد.

$$k_s = (8.25n\sqrt{g})^{\circ} \quad (1)$$

دقت بالایی در مدل سازی کanal مرکب پیچان دارد [18]. شان و همکاران به پیش‌بینی زاویه مسیر جریان دو بعدی متوسط در امتداد خم پیچان در کanal‌های مرکب پیچان رودی پرداختند [19]. منچو-استیو و همکاران با مطالعه عددی، ساختار جریان پیچیده در یک کanal مرکب پیچان را مورد بررسی قرار دادند [20]. مطالعات میدانی و آزمایشگاهی در کanal‌های مرکب، با توجه به مشکلات ثبت داده‌های لازم در شرایط سیلابی، پرهزینه و زمان بر است. بنابراین استفاده از شبیه‌سازی عددی به علت قابلیت استخراج دقیق پارامترهای هیدرولیکی، توانایی بالا و سهولت کار توصیه می‌شود. در زمینه شبیه‌سازی عددی الگوی جریان در سازه‌های هیدرولیکی با استفاده از نرم افزار Flow 3D مطالعات وسیعی انجام شده است که می‌توان به مطالعات موسسه و اتما [21]، گونزالز و بومباردلی [22] و آخریا و همکاران [23] اشاره کرد.

در این پژوهش با توجه به مطالعات انجام شده، پروفیل عرضی سرعت متوسط در عمق، پروفیل سطح آزاد آب، توزیع سرعت طولی، نسبت سرعت عرضی به طولی در محور مرکزی کanal اصلی، میزان سرعت متوسط و دبی عبوری از کanal اصلی در طول خم کanal مرکب پیچان با توجه به تغییر ضریب خمیدگی کanal با استفاده از نرم افزار FLOW3D محاسبه می‌شود.

۲- مواد و روش‌ها

در این پژوهش برای بررسی عددی تاثیر مقدار ضریب خمیدگی کanal‌های مرکب پیچان روی شرایط هیدرولیکی جریان، شش نوع کanal با ضریب خمیدگی مختلف مطابق شکل (۱) و جدول (۱) مدل سازی شده است.

جدول ۱. پارامترهای هندسی برای شش نوع کanal A تا F.

Case	Meandering belt width (Bm)(m)	Wave length (m)	Inner radius (m)	Outer radius (m)	Cross-over length (m)	Sinuosity (S)	Cross-over angle (θ)
A	0.7	-	0.9	1.6	1.2	1	0
B	1.1	3.61	0.9	1.6	1.2	1.026	15
C	1.63	4.58	0.9	1.6	1.2	1.096	30
D	2.28	5.23	0.9	1.6	1.2	1.209	45
E	2.99	5.53	0.9	1.6	1.2	1.381	60
F	3.71	5.45	0.9	1.6	1.2	1.641	75

Table. 1. Geometric parameters for six type of channels (A-F)

است. FSOR نرخ زمانی تغییرات جزء حجمی سیال ناشی از منبع جرم در یک سلول محاسباتی است چنانچه یک سلول $F=0$ محسوباتی مشخص پر از آب باشد $F=1$ خواهد شد. اگر $F < 1$ سلول مورد نظر خالی است و اگر $F > 1$ سلول مورد نظر حاوی هر دو فاز آب و هوا است.

۲-۲- شبکه بندی میدان جریان و شرایط مرزی

شبکه حل در این مدل متشكل از سلول‌های مکعبی است. برنامه FLOW3D فقط قابلیت تولید شبکه‌های منظم (مکعبی) را دارد پس با توجه به منحنی بودن میدان جریان در نواحی دیواره کanal اصلی کanal مرکب پیچان رودی و رفتار خاص جریان در محل اتصال کanal اصلی به سیلان داشت و به منظور افزایش دقیق در نتایج حاصل، باید از شبکه‌بندی ریزتری استفاده شود. ساختن شبکه مناسب برای میدان حل معادلات، دقیق محاسبات، همگرایی و زمان محاسبات را تحت تأثیر قرار می‌دهد. در کلیه مدل‌های عددی صورت گرفته، برای حصول نتایج درست و منطقی و FLOW3D کاهش خطأ و زمان شبیه‌سازی، طبق راهنمای برنامه ابعاد شبکه طوری تعیین شد که نسبت اندازه دو سلول همسایه دو نسبت شکل تا حد ممکن نزدیک به ۱ باشد و حداقل این دو پارامتریه ترتیب از $1/25$ و 3 تجاوز نکند.

در این پژوهش پس از بررسی شبکه بندی‌های مختلف، ریز کردن شبکه تا رسیدن به انحنای مناسب در کanal اصلی پیچان رود و نزدیک شدن به نتایج آزمایشگاهی، با سعی و خطاهای متعددی انجام شد که در نهایت حدود هشت‌صد هزار سلول برای مدل سازی انتخاب شد. شرایط مرزی اعمال شده برای مدل عددی نیز به گونه‌ای انتخاب شد که با شرایط فیزیکی مدل آزمایشگاهی هماهنگی داشته باشد. بنابراین با توجه به داشتن دبی و عمق جریان ورودی، برای حل معادلات حاکم بر میدان جریان، از مقدار دبی و عمق جریان مشخص در مقطع ورودی مدل عددی استفاده شد. این شرایط مرزی در نرم‌افزار FLOW3D (نرخ جریان حجمی) است. برای شرایط مرزی پایین‌دست در شبیه‌سازی حاضر از شرط مرزی Outflow (خروجی) نرم‌افزار استفاده شد. در این شرط مرزی نیاز به اعمال پارامتر

شکل ۲. پلان جزئیات هندسی و مقاطع مورد سنجش (کanal E).

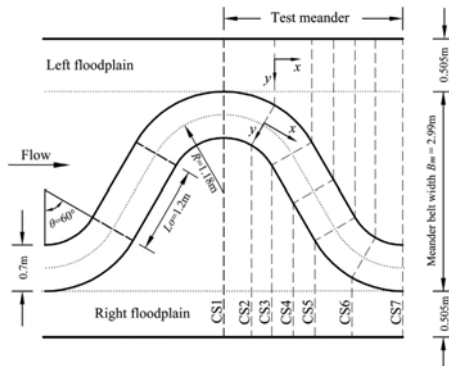


Fig. 2. Plan details of geometry and measuring sections (Case E).

۱-۲- معادلات حاکم

معادلات حاکم بر حرکت سیال عبارت‌اند از معادله پیوستگی و معادله مومنتوم که به معادلات ناویراستوکس معروف هستند و معادلات پایه استفاده شده در مدل FLOW3D هستند. برای جریان آشفته تراکم ناپذیر با لزجت و چگالی ثابت این معادلات به صورت روابط ۲ و ۳ معرفی می‌شوند.

$$\frac{\partial x_i}{\partial t} + u \frac{\partial x_i}{\partial x_j} - \rho \frac{\partial x_i}{\partial x_j} = \frac{\partial x_j}{\partial t} + v \frac{\partial x_j}{\partial x_i} - \rho \frac{\partial x_j}{\partial x_i} \quad (2)$$

$$\text{or} \quad \rho \frac{\partial u}{\partial x_j} - \rho \frac{\partial v}{\partial x_i} = -\frac{\partial p}{\partial x_i} + \mu \left(\frac{\partial^2 u}{\partial x_j^2} + \frac{\partial^2 v}{\partial x_i^2} \right) \quad (3)$$

که در آن x_i و x_j محورهای مختصات در سیستم کارتزین، t زمان، ρ چگالی سیال، \bar{P} فشار متوسط، U_i و U_j سرعت و μ تانسور تنش رینولدز هستند. همچنین در این مطالعه عددی، برای پیش‌بینی تغییرات سطح آزاد جریان از روش حجم سیال VOF استفاده شده است. پروفیل سطح آزاد جریان در روش VOF (VOF) با تعریفتابع $F(x, y, z, t)$ که بیانگر نسبت حجم اشغال شده توسط سیال به کل حجم است، از معادلات ۴ و ۵ بدست می‌آید.

$$\frac{\partial}{\partial t} \left[\frac{\partial F}{\partial z} (A_z W) + \zeta \left(\frac{\partial F}{\partial x} \right)^2 \right] = FDIF + FSOR \quad (4)$$

$$+ \frac{\partial}{\partial z} \left[\frac{\partial F}{\partial z} (V_F A_z \frac{\partial F}{\partial z}) + \zeta \left(\frac{\partial F}{\partial x} \right)^2 \right] \quad (5)$$

در این روابط u, v, w مولفه‌های سرعت، A_x, A_y, A_z جزء سطحی جریان در جهت x, y, z و V_F جزء حجمی جریان هستند. در سیستم مختصات کارتزین R برابر باشد و ζ صفر

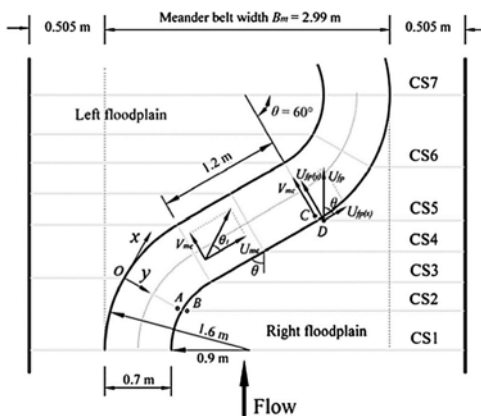


Fig.4. A photographic plan view of the meandering compound channel [13 & 16].

با توجه به بررسی مشخصات هیدرولیکی جریان در این پژوهش، داده‌های مربوط به دبی کanal اصلی، نسبت سرعت عرضی به سرعت طولی در محور مرکزی کanal اصلی و سرعت متوسط عمقی در مقطع کanal اصلی برای درستی آزمایی استفاده شده است. در تمامی نمودارهای استخراج شده در این پژوهش نمای دید مقاطع برخلاف جهت حرکت جریان است. در این پژوهش نتایج مدل عددی FLOW3D با نتایج حاصل از داده‌های آزمایشگاهی مقایسه شده و عملکرد دو مدل آشفتگی پرکاربرد RNG و k-e در شبیه‌سازی مشخصات هیدرولیکی جریان بررسی شد که نتایج آن در شکل (۵ و ۶) نشان داده شده است.

شکل ۵. مقایسه نتایج آزمایشگاهی و عددی برای نسبت سرعت عرضی به طولی در مقاطع CS1 و CS7.

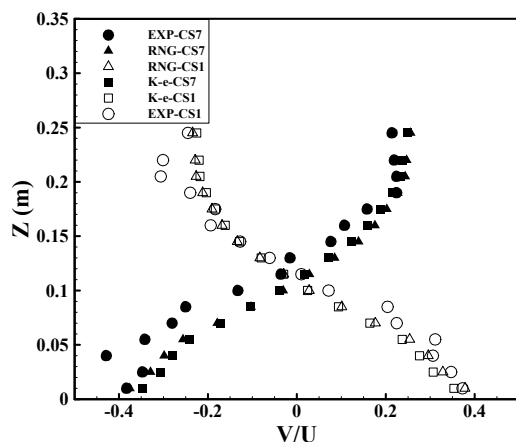


Fig.5. Comparison between experimental and numerical results for the ratio of transverse velocity to streamwise velocity (V/U) at CS1,7.

هیدرولیکی خاصی نیست. برای اعمال شرایط مرزی در دیوارهای جانبی و کف کanal، از شرط مرزی wall (دیواره) استفاده شد. کل سطح فوچانی میدان جریان نیز در این مدل‌سازی به صورت شرایط مرزی Symmetry (تقارن) تعریف شد. شبکه‌بندی میدان جریان و شرایط مرزی اعمال شده به مدل عددی در شکل (۳) قابل مشاهده است.

۰/۲۵۵ مترمکعب بر ثانیه، عمق جریان ۰/۰۵۵ متر و ارتفاع کanal اصلی ۰/۱۴ متر است [13, 15, 16]. در پژوهش لیو و همکاران، مشخصات هیدرولیکی جریان فقط در کanal با سینوسینی نوع E بررسی شده است. پلان مشخصات هندسی کanal استفاده شده برای درستی آزمایی و محل اندازه‌گیری داده‌ها در این آزمایش در شکل (۴) نشان داده شده است.

۳-۲-درستی آزمایی نتایج

برای درستی آزمایی و کنترل نتایج استخراج شده در این پژوهش، از داده‌های آزمایشگاهی لیو و همکاران استفاده شده است. این آزمایش‌ها در یک فلوم آزمایشگاهی به طول ۳۵ متر، عرض ۴ متر و عمق ۱ متر در آزمایشگاه هیدرولیک و مهندسی رودخانه دانشگاه سیچوان چین انجام شده است. در این کanal آزمایشگاهی دبی عبوری کل مقطع برای مدل‌سازی عددی، ضخامت کف و جداره کanal ۵/۰ سانتیمتر در نظر گرفته شده است.

شکل ۳. شبکه‌بندی میدان جریان و شرایط مرزی تعریف شده برای مدل عددی

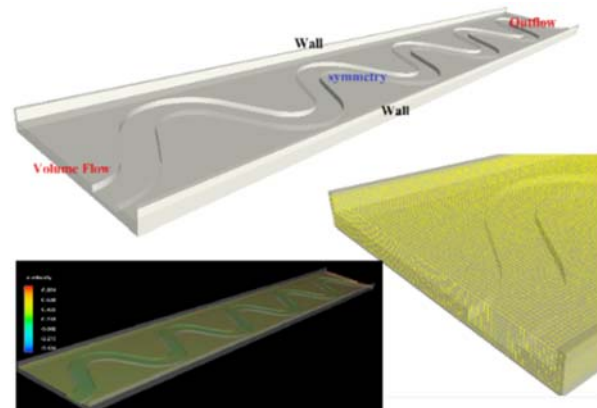


Fig. 3. The flow field grid and boundary conditions defined for numerical model

شکل ۴. نمایی از هندسه کanal مركب پیچان.

سرعت متوسط عمقی استفاده شده است. در این روابط X_i و Y_i مقادیر داده های عددی و آزمایشگاهی، N تعداد داده ها و M میانگین داده ها است. با توجه به رابطه ۶ و ۷ مقادیر NRMSE و RMSE برای مقدار سرعت متوسط عمقی کanal اصلی در مقطع CS1 به ترتیب 0.026 و 0.058 درصد است که بیانگر دقت بالای محاسبات عددی در اندازه گیری سرعت متوسط عمقی می باشد.

$$RMSE = \sqrt{\frac{1}{N} \sum_{i=1}^N (X_i - Y_i)^2} \quad (6)$$

$$NRMSE = \sqrt{\frac{1}{M} \sum_{i=1}^M (X_i - Y_i)^2} \times 100 \quad (7)$$

۳- نتایج و بحث

۱-۳- جریان های ثانویه و نسبت سرعت عرضی به طولی در محور مرکزی کanal اصلی

در یک کanal مرکب پیچان با حرکت در طول خم، زاویه بین راستای جریان کanal اصلی و راستای سیالبد شت مستقیم تغییر می کند (به عنوان نمونه در کanal مرکب پیچان E با ضریب خمیدگی $k = 0.026$ در CS1 زاویه $\theta = 138^\circ$ در CS1 برابر صفر درجه و در CS3 برابر 60° درجه است). بنابراین جریان ثانویه در کanal اصلی پیچان رودها تحت تأثیر دو جزء جریان است. جریان ناشی نیروی گریز از مرکز (V_1) و جریان ناشی از سیالبد شت بالادست (V_2)، که تأثیر تؤام این دو جزء جریان در شکل (۸) نشان داده شده است. نسبت سرعت عرضی به سرعت طولی نشان دهنده شدت جریان ثانویه در کanal های پیچان است. برای این منظور در هر ۶ نوع کanal با مقدار سینوسیتی مختلف، نسبت سرعت عرضی به سرعت طولی (V/U) در محور عمود بر مرکز کanal اصلی در مقاطع CS1 و CS7 که دارای بیشترین انحصار در هر مقدار سینوسیتی می باشد محاسبه شده است. شکل های (۹) و (۱۰) تغییر مقدار V/U در محور مرکزی کanal اصلی با توجه به تغییرات مقدار سینوسیتی را نشان می دهد. مطابق این دو شکل، توزیع قرینه سرعت در مقاطع CS1 و CS7 به علت جریان متقارن در کanal مرکب پیچان مشاهده می شود. در مقطع CS1 نسبت V/U برای کanal مرکب مستقیم ($S=1$) با توجه به عدم وجود نیروی گریز از مرکز و ناچیز بودن سرعت عرضی تقریباً صفر است. با افزایش مقدار سینوسیتی کanal، مقدار V/U افزایش یافته و در نهایت به بیشترین مقدار خود در

سرعت جریان در کanal مرکب پیچان تحت تأثیر ضریب خمیدگی شکل ۶. مقایسه نتایج آزمایشگاهی و عددی برای نسبت دبی کanal اصلی به دبی کل در طول نیمی از مسیر پیچان رود.

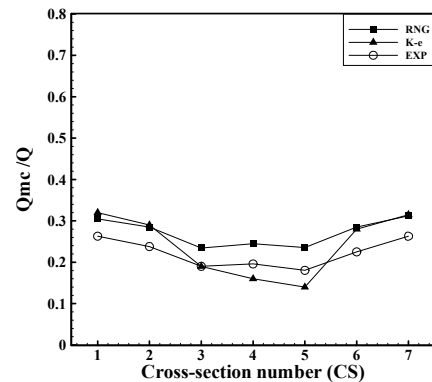


Fig .6. Comparison between experimental and numerical results for the ratio of main channel discharge (Q_{mc}) and total discharge (Q) along half a meander.

همان گونه که در شکل (۵) و (۶) مشخص شده، مدل آشفتگی RNG دقت بهتری نسبت به مدل آشفتگی $k-s$ داشته، بنابراین این مدل به عنوان مدل آشفتگی نهایی برای شبیه سازی عددی معرفی شد.

با توجه به انتخاب مدل آشفتگی RNG برای مدل سازی عددی، در ادامه برای بررسی بیشتر درستی نتایج عددی از داده های آزمایشگاهی سرعت متوسط عمقی کanal اصلی مقطع CS1 مطابق شکل (۷) استفاده شده است.

شکل ۷. مقایسه نتایج آزمایشگاهی و عددی برای سرعت متوسط عمقی در مقطع CS1.

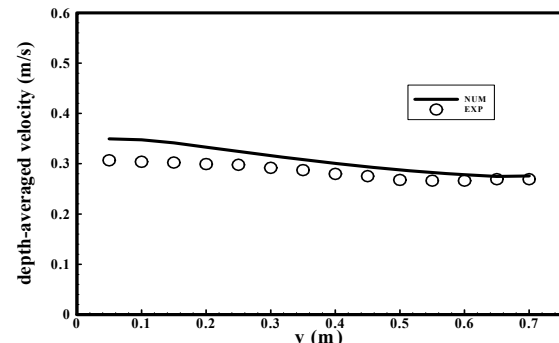


Fig.7. Comparison between experimental and numerical results for Depth-averaged velocity at CS1.

به منظور بررسی میزان دقت نتایج محاسبات مدل عددی نسبت به مقادیر آزمایشگاهی از شاخص های آماری ریشه میانگین مربعات خطای (RMSE) و درصد ریشه میانگین مربعات خطای نرمال شده (NRMSE) مطابق رابطه ۶ و ۷، برای مقدار

شکل ۱۰. نسبت سرعت عرضی به سرعت طولی (V/U) در خط مرکزی (V/U) در مقطع CS7 برای ۶ مورد کanal A تا F.

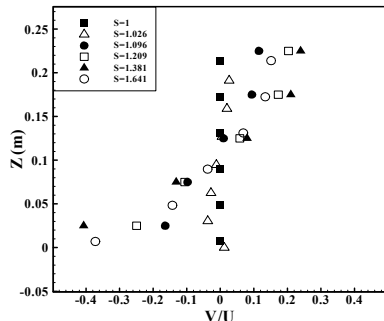


Fig. 10. The ratio of transverse velocity to streamwise velocity (V/U) in the centerline of meandering main channel at CS7 for six cases (A-F).

۲-۳- توزیع سرعت طولی در کanal اصلی

در شکل (۱۱) توزیع سرعت طولی در مقطع CS1 با توجه به تغییر مقدار ضریب خمیدگی نشان داده شده است. در تمامی موارد بیشینه مقدار سرعت طولی در بالای سطح عمق لبریز کanal (بالای عمق ۱۴ سانتیمتر) است.

شکل ۱۱. توزیع سرعت طولی (U) در مقطع CS1 کanal اصلی پیچان برای ۶ مورد کanal A تا

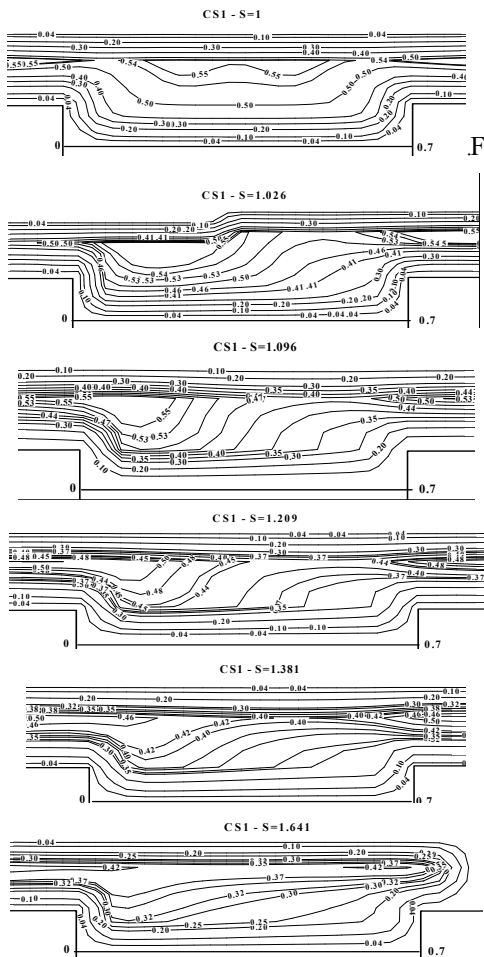


Fig. 11. Streamwise velocity (U) distributions in the meandering main channel at CS1 for six cases (A-F).

محدوده ۰/۲۵ - ۰/۰ تا ۰/۴ می‌رسد. در مقطع CS7 نیز مقدار V/U با توجه به افزایش مقدار ضریب خمیدگی و تغییر جهت جریان در طول کanal پیچان به محدوده ۰/۲۴ - ۰/۰ تا ۰/۴ می‌رسد.

شکل ۸ سازوکار تولید جریان ثانویه در کanal اصلی پیچان رود و توزیع قائم سرعت‌های عرضی در CS6 و CS2 [13].

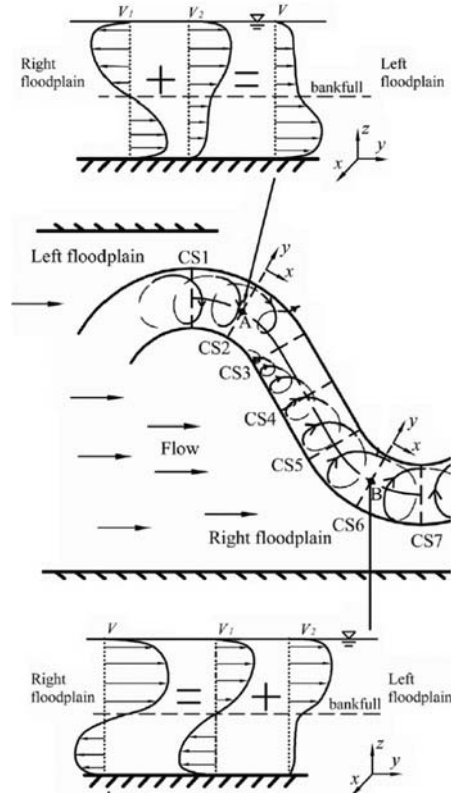


Fig. 8. Secondary flow generation mechanism in the meandering main channel and vertical distributions of transverse velocities at CS2,6 [13].

شکل ۹. نسبت سرعت عرضی به سرعت طولی (v/u) در خط مرکزی کanal اصلی پیچان در مقطع CS1 برای ۶ مورد کanal A تا

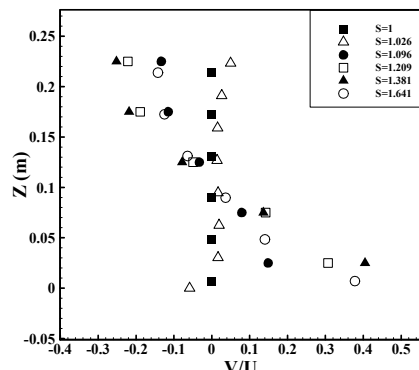


Fig.9. The ratio of transverse velocity to stream-wise velocity (V/U) in the centerline of meandering main channel at CS1 for six cases (A-F).

شکل ۱۲. پروفیل سرعت متوسط عمقی در مقطع CS1 کanal اصلی پیچان برای ۶ مورد کanal A تا F.

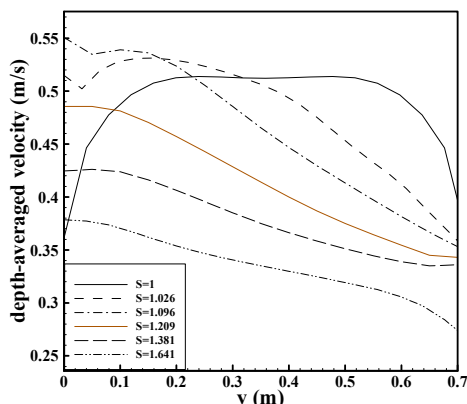


Fig. 12. Depth-averaged velocity profiles in a meandering main channel at CS1 for six cases (A-F).

شکل ۱۳. پروفیل سرعت متوسط عمقی در مقطع CS7 کanal اصلی پیچان برای ۶ مورد کanal A تا F.

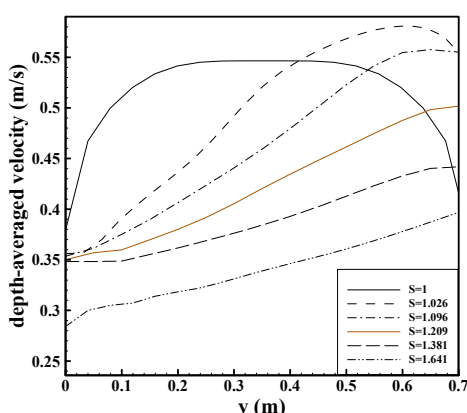


Fig. 13. Depth-averaged velocity profiles in a meandering main channel at CS7 for six cases (A-F).

در این نمودارها مقدار بیشینه سرعت متوسط عمقی با افزایش مقدار ضریب خمیدگی، از $0/55$ به $0/38$ متر بر ثانیه در خم داخلی کاهش می‌یابد. توزیع فرینه در این دو مقطع به علت جریان متقاضی در کanal مرکب پیچان است. در ادامه سرعت متوسط کلی در کanal اصلی پیچان در هریک از مقاطع هفتگانه CS1 تا CS7 با توجه به تغییر مقدار ضریب خمیدگی محاسبه می‌شود. در شکل (۱۴) این تغییرات برای ۷ مقطع از طول خم پیچان و در ۶ ضریب خمیدگی مختلف نشان داده شده است.

سرعت جریان در کanal مرکب پیچان تحت تأثیر ضریب خمیدگی در کanal مرکب مستقیم ($S=1$) بیشینه مقدار سرعت طولی در مرکز کanal اصلی (محدوده $0/2$ الی $0/5$ متر از کanal به عرض $0/7$ متر) و در عمق حدود $0/2$ متری رخ می‌دهد. با افزایش میزان انحنا و مقدار ضریب خمیدگی، مقدار سرعت طولی حداکثر به سمت سیلاند شت سمت راست (خم داخلی) حرکت کرده و از مقدار آن کاسته می‌شود به طوری که با افزایش مقدار ضریب خمیدگی از ۱ به $1/641$ ، مقدار بیشینه سرعت طولی از $0/55$ به $0/42$ متر بر ثانیه (۲۴ درصد کاهش) تغییر کرده و موقعیت آن از مرکز کanal اصلی به سمت خم داخلی و در عمق $0/2$ متر حرکت می‌کند.

۳-۳- تغییرات سرعت متوسط عمقی و سرعت متوسط کلی مقاطع مختلف کanal اصلی

با افزایش شعاع انحنا و نیروی گریز از مرکز در خم خارجی کanal مرکب پیچان، تراکم خطوط جریان افزایش یافته و در نتیجه مقاومت جریان افزایش می‌یابد. با افزایش مقاومت جریان در خم خارجی، مقدار سرعت متوسط عمقی کاهش پیدا می‌کند. با توجه به توزیع سرعت طولی در مقطع CS1 در شکل (۱۱) بیشینه مقدار سرعت طولی در کanal مرکب مستقیم در مرکز کanal رخ داده و با افزایش ضریب خمیدگی به سمت خم داخلی حرکت کرده و کاهش می‌یابد. بنابراین حداکثر مقدار سرعت متوسط عمقی در خم داخلی با افزایش مقدار ضریب خمیدگی و شعاع انحنا کاهش می‌یابد. شکل‌های (۱۲ و ۱۳) پروفیل عرضی سرعت متوسط عمقی را با توجه به تغییر مقدار ضریب خمیدگی کanal مرکب پیچان در مقاطع CS1 و CS7 نشان می‌دهند.

شکل ۱۵. پروفیل سطح آزاد آب در مقطع CS1 کanal اصلی پیچان برای ۶ مورد کanal A تا F

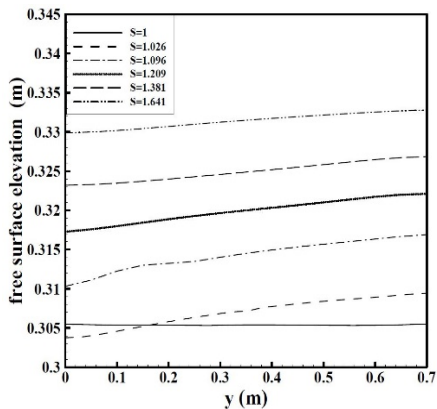


Fig. 15. free surface elevation Profile in the meandering main channel at CS1 for six cases (A-F).

شکل ۱۶. پروفیل سطح آزاد آب در مقطع CS7 کanal اصلی پیچان برای ۶ مورد کanal A تا F

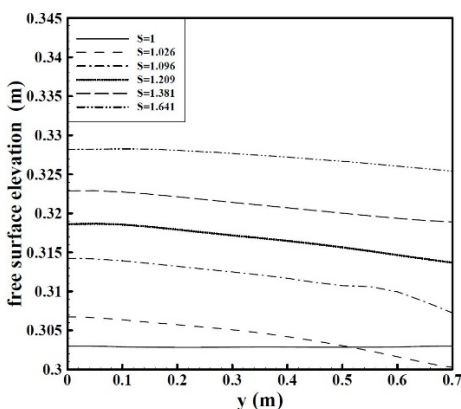


Fig. 16. free surface elevation Profile in the meandering main channel at CS7 for six cases (A-F).

۳-۵- میزان دبی عبوری از کanal اصلی برای مقاطع مختلف

در ادامه میزان دبی عبوری از هر مقطع کanal اصلی با توجه به تغییر میزان ضریب خمیدگی کanal مرکب پیچان محاسبه شده است. در شکل (۱۷) این میزان تغییرات بر اساس نسبت دبی عبوری از کanal اصلی به دبی کل نشان داده شده است. همان‌گونه که در شکل (۱۷) دیده می‌شود با افزایش مقدار ضریب خمیدگی از ۱ به $1/641$ ، مقدار دبی عبوری از کanal اصلی کاهش می‌یابد. در مقاطع میانی (CS2-CS6)، جریان عرضی سیلاند شست بالادست در کanal اصلی پیچان رود غرق

شکل ۱۴. تغییرات سرعت متوسط مقاطع ۷ در کanal اصلی برای ۶ مورد کanal A تا F

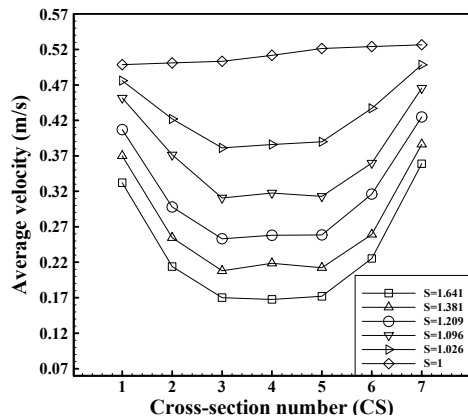


Fig. 14. Average velocity variations in a meandering main channel at CS1-CS7 for six cases (A-F).

همان‌طور که در نمودارها مشخص است با افزایش ضریب خمیدگی، مقدار سرعت متوسط کanal اصلی کاهش می‌یابد به‌طوری که در بحرانی ترین حالت مقدار سرعت متوسط کanal اصلی در مقطع CS4 از $0/51$ به $0/16$ متر بر ثانیه می‌رسد. همچنین با میانگین گیری سرعت متوسط مقاطع مختلف در هر مقدار ضریب خمیدگی، مشاهده می‌شود که مقدار سرعت متوسط مقطع کanal اصلی با افزایش مقدار ضریب خمیدگی به طور میانگین ۵۴ درصد کاهش می‌یابد.

۴- پروفیل سطح آزاد آب

همان‌طور که در بخش‌های قبلی نشان داده شد، در یک کanal مرکب پیچان هرچه به سمت خم خارجی حرکت شود، با افزایش شعاع انحنا و نیروی گریز از مرکز در خم خارجی، بر تراکم خطوط جریان و در نتیجه مقاومت جریان افزوده می‌شود. بنابراین مقدار سرعت متوسط عمقی کاهش یافته و ارتفاع سطح آزاد آب افزایش می‌یابد. شکل‌های (۱۵) و (۱۶) تغییر پروفیل سطح آزاد آب را با تغییر مقدار ضریب خمیدگی در مقطع CS1 و CS7 نشان می‌دهد. در این نمودارها مقدار بیشینه ارتفاع سطح آزاد آب با افزایش مقدار سینوسیتی، از $0/305$ به $0/332$ متر (۹٪ افزایش) در خم خارجی مقطع CS1 و از $0/303$ به $0/328$ متر (۸٪ افزایش) در خم خارجی مقطع CS7 تغییر می‌کند. ارتفاع سطح آزاد آب با توجه به ضخامت ۵/۵ سانتیمتری کف کanal محاسبه شده است.

در حالی که کوچکترین دبی کanal اصلی بیشتر در مقطع میاتی رخ می دهد (CS4) و این اختلاف بین مقادیر مقطع ابتداء، انتهای و مقطع میانی با کاهش مقدار ضریب خمیدگی و زاویه θ به حداقل مقدار خود می رسد. در ادامه میزان دبی عبوری متوسط گیری شده در مقاطع کanal اصلی (Q_{mc}) و سیلاب دشت (Q_{fp}) در جدول (۲) برای ۶ مقدار ضریب خمیدگی مختلف نشان داده شده است. در صد نشان داده شده در پرانتز، نسبت دبی کanal اصلی (Q_{mc}) یا دبی سیلاب دشت (Q_{fp}) به دبی کل عبوری Q است. همان گونه که در جدول (۲) نشان داده شده است، با افزایش مقدار ضریب خمیدگی از ۱ به $1/641$ ، میزان دبی متوسط عبوری از مقطع کanal اصلی به دبی کل، از $0/37$ به $0/23$ کاهش می یابد که می توان گفت این مقدار دبی 38 درصد کاهش یافته است.

سرعت جریان در کanal مرکب پیچان تحت تأثیر ضریب خمیدگی شده و با جریان این کanal برخورد می کند. این فرایند، انرژی جنبشی اضافی را با تولید تنفس برشی عمودی شکل ۱۷. نسبت دبی کanal اصلی به دبی کل در طول نیمی از مسیر پیچان رود.

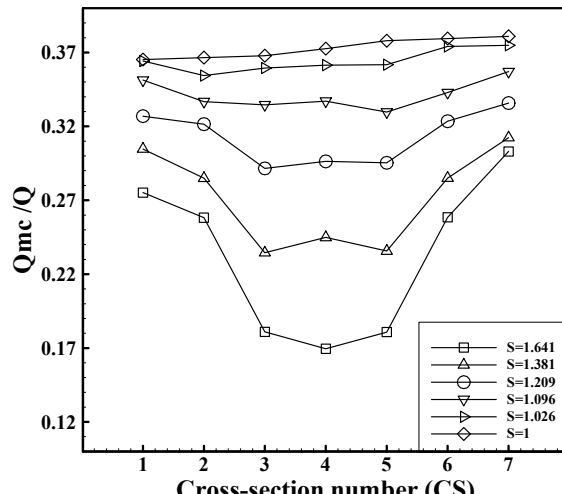


Fig. 17. the ratio of main channel discharge (Q_{mc}) and total discharge (Q) along half a meander.

قوى تبدیل به افت انرژی می کند. در نتیجه این امر، قابلیت انتقال جریان در مقاطع میانی نسبت به مقاطع CS1 و CS7 کاهش می یابد (لیو و همکاران، ۲۰۱۶). علاوه بر این با توجه به افزایش زاویه جریان بین کanal اصلی و سیلاب دشت در مقاطع میانی، اثر مولفه افقی جریان سیلاب دشت روی کanal اصلی بیشتر می شود. به عنوان نمونه برای کanal مرکب پیچان با مقدار ضریب خمیدگی $1/381$ مطابق شکل (۴) با حرکت در طول خم، مقدار مولفه افقی جریان سیلاب دشت ($U_{fp}\sin\theta=U_{fp}(y)$) با توجه به افزایش مقدار زاویه θ ، افزایش یافته (در CS3, ۴.۵, ۴.۵ زاویه θ برابر 60 درجه است) و باعث تاثیر روی جریان ثانویه و تغییر دبی عبوری از کanal اصلی می شود. با توجه به شکل (۲۰) در بحرانی ترین حالت، نسبت دبی عبوری از کanal اصلی به دبی کل در مقطع CS4، با افزایش مقدار ضریب خمیدگی از ۱ به $1/641$ ، از $0/37$ درصد به $0/16$ درصد کاهش می یابد. در زاویه θ صفر درجه و در $S=1.641$ این زاویه به 75 درجه می رسد. بنابراین با افزایش زاویه θ و تاثیر بیشتر مولفه افقی سیلاب دشت بالا دست روی جریان کanal اصلی، میزان دبی عبوری کاهش می یابد. مطابق شکل (۱۷)، بزرگترین دبی کanal اصلی همیشه در تاج خم پیچان رخ داده (CS1, ۷) (CS1, ۷)

جدول ۲. متوسط دبی کل و دبی کanal اصلی و سیلاندشت در طول نیمی از پیچان رود

Case	Sinuosity (S)	Total discharge Q(m ³ /s)	Main channel discharge Q _{mc} (m ³ /s)	Flood plain discharge Q _{fp} (m ³ /s)
A	1	0.189	0.070 (0.37)	0.119 (0.63)
B	1.026	0.189	0.068 (0.36)	0.121 (0.64)
C	1.096	0.189	0.064 (0.34)	0.125 (0.66)
D	1.209	0.189	0.059 (0.31)	0.130 (0.69)
E	1.381	0.189	0.051 (0.27)	0.138 (0.73)
F	1.641	0.189	0.043 (0.23)	0.146 (0.77)

Table 2. average total discharge (Q) and average sub-area discharge (Q_{mc} and Q_{fp}) along half a meander.

CS4 از ۰/۵۱ به ۰/۱۶ متر بر ثانیه می‌رسد و مقدار سرعت

متوسط مقطع کanal اصلی به طور میانگین ۵۴ درصد کاهش یافته است.

- مقدار بیشینه ارتفاع سطح آزاد آب با افزایش مقدار ضریب خمیدگی از ۰/۳۰۵ به ۰/۳۳۲ متر در خم خارجی مقطع CS1 و از ۰/۳۰۳ به ۰/۳۲۸ متر در خم خارجی مقطع CS7 افزایش می‌یابد.

- با افزایش مقدار ضریب خمیدگی، مقدار دبی عبوری از کanal اصلی کاهش می‌یابد به طوری که در بحرانی ترین حالت، نسبت دبی عبوری از کanal اصلی به دبی کل در مقطع CS4 با افزایش مقدار ضریب خمیدگی از ۱ به ۱/۶۴۱، از ۳۷ درصد به ۱۶ در صد کاهش یافته و میزان دبی عبوری کanal اصلی به طور متوسط ۳۸ درصد کاهش می‌یابد.

References

- [1] Toebes G.H. & Sook A. A. 1967 Hydraulics of meandering rivers with flood plains. A. S. C. E. J. of Waterways and Harbors, 33, 213–236.
- [2] Knight D.W. & Demetriou J.D. 1983 Flood plain and main channel flow interaction. Journal of Hydraulic Engineering, 109 (8), 1073–1092.
- [3] Kiely G. 1990 Overbank Flow in Meandering Channels the Important Mechanisms. International Conference on River Flood Hydraulics, 207–217.
- [4] Ervine D.A., Willetts B.B., Sellin R.H.J. & Lorena M. 1993 Factors Affecting Conveyance in Meandering Compound Flows. Journal of Hydraulic Engineering, ASCE, 119(12), 1383–1399.
- [5] Shiono K. & Muto Y. 1998 Complex flow mechanisms in compound meandering channels with overbank flow. Journal of Fluid Mechanics, 376, 221–261.
- [6] Shiono K., Muto Y., Knight D. W. & Hyde, A. F. L. 1999 Energy losses due to secondary flow and turbulence in meandering channels with over bank flow. Journal of Hydraulic Research, 37(5), 641–664.

5- منابع

در این پژوهش، هیدرولیک جریان در مقاطع مرکب پیچان تحت اثر تغییر میزان ضریب خمیدگی با استفاده از مدل سازی عددی بررسی شد و نتایج حاصل به شرح زیر است:

- هماهنگی نتایج حاصل از مدل عددی FLOW3D و داده‌های آزمایشگاهی لیو و همکاران در بخش درستی آزمایی نشان دهنده این است که مدل آشفتگی RNG به خوبی می‌تواند رفتار هیدرولیک جریان در کanal مرکب پیچان را شبیه‌سازی کند.

- با افزایش مقدار ضریب خمیدگی کanal، مقدار U/V در مقطع CS1 افزایش یافته و در نهایت به بیشترین مقدار خود در محدوده ۰/۲۵ – ۰/۴ می‌رسد. در مقطع CS7 نیز مقدار U/V با توجه به افزایش مقدار ضریب خمیدگی و تغییر جهت جریان در طول کanal پیچان به محدوده ۰/۲۴ – ۰/۲۶ می‌رسد.

- با افزایش میزان ضریب خمیدگی، مقدار سرعت طولی حداقل به سمت سیلاندشت سمت راست (الخم داخلی) حرکت کرده و از مقدار آن کاسته می‌شود به طوری که با افزایش مقدار ضریب خمیدگی از ۱ به ۱/۶۴۱، مقدار بیشینه سرعت طولی از ۰/۵۵ به ۰/۴۲ متر بر ثانیه تغییر کرده و موقعیت آن از مرکز کanal اصلی به سمت خم داخلی و در عمق ۰/۲ متر حرکت می‌کند.

- مقدار بیشینه سرعت متوسط عمقی با افزایش مقدار ضریب خمیدگی از ۰/۳۸ به ۰/۵۵ متر بر ثانیه در خم داخلی کاهش می‌یابد.

- با افزایش مقدار ضریب خمیدگی، مقدار سرعت متوسط عبوری از کanal اصلی کاهش می‌یابد به طوری که در بحرانی ترین حالت مقدار سرعت متوسط کanal اصلی در مقطع

4- نتیجه گیری

در این پژوهش، هیدرولیک جریان در مقاطع مرکب پیچان تحت اثر تغییر میزان ضریب خمیدگی با استفاده از مدل سازی عددی بررسی شد و نتایج حاصل به شرح زیر است:

- هماهنگی نتایج حاصل از مدل عددی FLOW3D و داده‌های آزمایشگاهی لیو و همکاران در بخش درستی آزمایی نشان دهنده این است که مدل آشفتگی RNG به خوبی می‌تواند رفتار هیدرولیک جریان در کanal مرکب پیچان را شبیه‌سازی کند.

- با افزایش مقدار ضریب خمیدگی کanal، مقدار U/V در مقطع CS1 افزایش یافته و در نهایت به بیشترین مقدار خود در محدوده ۰/۲۵ – ۰/۴ می‌رسد. در مقطع CS7 نیز مقدار U/V با توجه به افزایش مقدار ضریب خمیدگی و تغییر جهت جریان در طول کanal پیچان به محدوده ۰/۲۴ – ۰/۲۶ می‌رسد.

- با افزایش میزان ضریب خمیدگی، مقدار سرعت طولی حداقل به سمت سیلاندشت سمت راست (الخم داخلی) حرکت کرده و از مقدار آن کاسته می‌شود به طوری که با افزایش مقدار ضریب خمیدگی از ۱ به ۱/۶۴۱، مقدار بیشینه سرعت طولی از ۰/۵۵ به ۰/۴۲ متر بر ثانیه تغییر کرده و موقعیت آن از مرکز کanal اصلی به سمت خم داخلی و در عمق ۰/۲ متر حرکت می‌کند.

- مقدار بیشینه سرعت متوسط عمقی با افزایش مقدار ضریب خمیدگی از ۰/۳۸ به ۰/۵۵ متر بر ثانیه در خم داخلی کاهش می‌یابد.

- با افزایش مقدار ضریب خمیدگی، مقدار سرعت متوسط عبوری از کanal اصلی کاهش می‌یابد به طوری که در بحرانی ترین حالت مقدار سرعت متوسط کanal اصلی در مقطع

- of meandering compound channels. *Journal of Hydrology*, 542, 1-17.
- [17] Shan Y., Liu X., Yang K. & Liu C. 2017 Analytical model for stage-discharge estimation in meandering compound channels with submerged flexible vegetation. *Advances in Water Resources*, 108, 170–183.
- [18] Saeed-Golanik S. & Mohammadi, M. 2017 A Numerical Consideration of Hydraulic Aspects of Flow in Meandering Prismatic Compound Channels by Flow3D Model. *Proceedings, 5th International Congress on: Civil Eng., Architecture and Urban Development; 26-28 December, Shahid Beheshti University, Tehran, Iran.* (In Persian).
- [19] Shan Y., Huang S., Liu C., Guo Y.&Yang K. 2018 Prediction of the depth-averaged two-dimensional flow direction along a meander in compound channels. *Journal of Hydrology*, 565, 318–330.
- [20] Moncho-Esteve I., García-Villalba M., Muto Y., Shiono K. & Palau-Salvador G. 2018 A numerical study of the complex flow structure in a compound meandering channel. *Advances in Water Resources*, 116, 95–116.
- [21] Muste M. & Ettema R. 2004 Scale effects in flume experiments on flow around a spur dike in flatbed channel. *Journal of Hydraulic Eng*, 130, 635- 646.
- [22] González A.E. & Bombardelli F.A. 2005 Two phase flow theoretical and numerical models for hydraulic jumps including air entrainment. In Proc. XXXI IAHR Congress. Seoul. Korea.
- [23] Acharya A. 2001 Experimental study and numerical simulation of flow and sediment transport around a series of spur dikes. PhD Thesis. In the Graduate College.the university of Arizona.
- [7] Shiono K., Al-Romaish J.S. & Knight D.W. 1999 Stage-discharge assessment in compound meandering channels. *Journal of Hydraulic Engineering*, 125 (1), 66–77.
- [8] Spooner J. & Shiono. K. 2003 Compound Meandering Channels with overbank flow. *Water and Maritime Engineering*,156(3), 225-233.
- [9] Wormleaton P.R., Sellin R.H.J., Bryant T., Loveless J.H., Hey R.D. & Catmur S.E. 2004 Flow structures in a two-stage channel with a mobile bed. *Journal of Hydraulic Research*, 42(2), 145–162.
- [10] De Marchis M. & Napoli E. 2008 The effect of geometrical parameters on the discharge capacity of meandering compound channels. *Advances in Water Resources*, 31,1662–1673.
- [11] Rameshwaran P., Sun X., Shiono K., Chandler J.H. & Sellin, R. H. J. 2008 The Modelling of Compound Channel Flow: Physical Model of River Blackwater, Wallingford. UK.
- [12] Shiono K., Spooner J., Chan TL., Rameshwaran P. & Chandler J.H. 2008 Flow characteristics in meandering channels with non-mobile and mobile beds for overbank flows. *Journal of Hydraulic Research*, 46(1), 113–32.
- [13] Liu C., Wright N., Liu X. & Yang K. 2014 An analytical model for lateral depth-averaged velocity distributions along a meander in curved compound channels. *Advances in Water Resources*, 74, 26–43.
- [14] Mera I., Francat M.J., Anta J. & Peña E. 2014 Turbulence anisotropy in a compound meandering channel with different submergence conditions. *Advances in Water Resources*.
- [15] Liu C., Shan Y.,Liu X.&Yang K.2016 Method for assessing stage-discharge in meandering compound channels. *ICE-Water Manage*,169(1), 17–29.
- [16] Liu C., Shan Y., Liu X., Yang K. & Liu H. 2016 The effect of floodplain grass on the flow characteristics

Flow Velocity in Meandering Compound Channel under the Influence of Sinusoidal Change

Mohammad Naghavi¹, Mirali Mohammadi^{2*}, Ghorban Mahtabi³

1- Ph.D. Candidate in Civil Eng. Water & Hydraulic Structures, Department of Civil Engineering, Faculty of Eng., Urmia University.

*2- Associate Professor in Civil Eng. Hydraulics & River Eng. Mechanics, Department of Civil Engineering, Faculty of Eng., Urmia University.

3- Assistant Professor in Water Engineering, Department of Water Engineering, Faculty of Agriculture, University of Zanjan.

*m.mohammadi@urmia.ac.ir

Abstract

Natural rivers are rarely in direct flow because of regulating energy grade-line, and usually have a curved path to which it is referred to as "meandering channels". After the appearance of meandering rivers, with the passage of time and lateral movement of the meanders, the external bending progression and the sinusoidal or curvature is increased. In meandering channels, the curvature of the meandering sections with a dimensionless number can be defined as the sinusoidal which is the ratio of meander length of main channel to the floodplain length. By increasing sinusoidal slope number, flow velocity and river discharge capacity decrease. As a result, the risk of flood has increased significantly and during floods the water level exceeds to the bankfull and then enters to the floodplains. In this case, due to the interaction between higher velocities in the main channel and the lower velocities in the floodplains and the momentum transfer between these two regions, the flow profile is constantly changing. In this research, the hydraulic characteristics of flow including the depth-averaged velocity, the water surface profile, longitudinal velocity distributions, ratios of transverse to longitudinal velocities in the central axis of the main channel and the mean velocity and flow rate of the main channel along the meandering compound channel have been investigated numerically, regarding the change in the sinusoidal ratio for six types of channels with different sinusoidal ratios. In order to investigate the effect of sinusoidal ratio in meandering compound channels on the hydraulic characteristics of the flow, the FLOW3D software is used. So that, the turbulence model with experimental data have a better compliance. for this purpose, two RNG and k- ϵ turbulence models were then used and the performance of these two models were investigated to simulate the important hydraulic characteristics of the flow, such as the flow velocity, and it was determined that the RNG turbulence model has a better accuracy than the k- ϵ turbulence model. In the following, this model was introduced as a final turbulence model for numerical simulations. Numerical simulation results show that by increasing the sinusoidal ratio of channel from 1 to 1.641, the mean velocity of the main channel section is decreased by 54% on average and the flow rate of the main channel decreases by the average of 38%. Also, by increasing the sinusoidal ratio, the maximum depth-averaged velocity, U_d , decreases from 0.55 m/s to 0.38 m/s, and the maximum free surface height of the water rises from 0.305 m to 0.332 m in the outer bend of the CS1 cross section. By increasing the sinusoidal ratio causes the ratio of the transverse velocity to be increased longitudinally in the central axis of the main channel, so that its value in the most critical state reaches from zero to 0.4. As the sinusoidal ratio increases, the maximum length velocity moves towards the right side floodplain (internal bend) and decreases its value. So that by increasing the sinusoidal ratio from 1 to 1.641, the maximum longitudinal velocity 0.55 m/s to 0.42 m/s and its position moves from the centerline of the main channel to the inner bend over the depth of the main channel overflow.

Keywords: Compound Channel, Meandering, Sinusoidal, Depth-Averaged Velocity, FLOW3D.